

- [16] Историческая геоэкология, география и природопользование: новые направления и методы исследований. (Матер. II конф.). СПб., 2002. 183 с.
- [17] Ландшафтоведение: теория, методы, региональные исследования, практика. Матер. XI Ланд. конф. М., 2006. 787 с.
- [18] Любавский М. К. Историческая география России в связи с колонизацией [1909]. СПб., 2000. 302 с.
- [19] Мечников Л. И. Цивилизация и великие исторические реки. Статьи. М., 1995. 461 с.
- [20] Мильков Ф. Н. Человек и ландшафты. М.: Мысль, 1973. 223 с.
- [21] Низовцев В. А., Марченко Н. А. Антропогенный ландшафтогенез — методы и результаты исследований // География, общество, окружающая среда. Т. II. М.: Городец, 2004. С. 196—212.
- [22] Природная среда и биологическое разнообразие архипелага Березовые острова (Финский залив). СПб., 2007. 366 с.
- [23] Структура, функционирование, эволюция природных и антропогенных ландшафтов. Тез. X Ланд. конф. М.; СПб., 1997. 282 с.
- [24] Татищев В. Н. Лексикон Российский исторический, географический, политический и гражданский. Ч. I—III. СПб., 1793.
- [25] Теория, методы и инновации в исторической географии. (Матер. III конф.). СПб., 2007. 444 с.
- [26] Харитоньев А. Т. Роль хозяйственной деятельности в изменении ландшафтов Горьковского правобережья. Горький, 1960. 149 с.
- [27] Юнтоловский региональный комплексный заказник. СПб., 2005. 202 с.

Санкт-Петербург  
greg.isachenko@gmail.com

Поступило в редакцию  
26 апреля 2011 г.

Изв. РГО. 2011. Т. 143. Вып. 5

© В. В. КОЛДУНОВ, В. А. РОЖКОВ, К. Г. СМЕРНОВ

## ЭКСПРЕСС-АНАЛИЗ ПРОСТРАНСТВЕННО-ВРЕМЕННОЙ ИЗМЕНЧИВОСТИ КОЛЕБАНИЙ УРОВНЯ ТИХОГО ОКЕАНА

Спутниковая альтиметрическая информация дает возможность исследовать изменчивость уровня на основе статистического анализа ансамбля пространственно-временных полей исходных данных [1, 3, 6]. Цель работы состоит в обсуждении результатов такого анализа.

**Исходные данные и их характеристика.** В качестве альтиметрической информации использовались данные SLA, т. е. аномалии уровня моря относительно модели CLS01 со спутников Jason, TOPEX/Poseidon, ENVISAT, GFO-1, ERS1/2, GEOSAT, интерполированные системой SSALTO в узлы регулярной сетки с шагом 1/3 на 1/3°. Вводились следующие поправки: уточненная орбита, сухая тропосферная, на влажность, ионосферная, на состояние подстилающей поверхности, океанские приливы FES2004 (M2, S2, K2, N2, 2N2, O1, P1, K1, Q1, Mf, Mtm, Mm, Msqm и M), приливы в земной коре, полюсные приливы, комбинированная атмосферная коррекция (включая поправку на эффект «обратного барометра»). Период наблюдений — с 14.10.1992 по 26.03.2010 г. Временная дискретность — 7 сут. Границы района: 0—65° с. ш., 110° в. д.—105° з. д.

**Разведочный анализ исходных данных.** Пространственная область состоит из 260 точек по широте и 451 точки по долготе. Она разделена на 10 районов с учетом течений, фронтальных зон, проливов, берегового контура, широтных зон. На рис. 1 приведена карта границ районов, которые условно можно назвать: 1 — Охотское море, 2 — Берингово море, 3 — Аляскинское течение, 4 — северный полярный фронт, 5 —

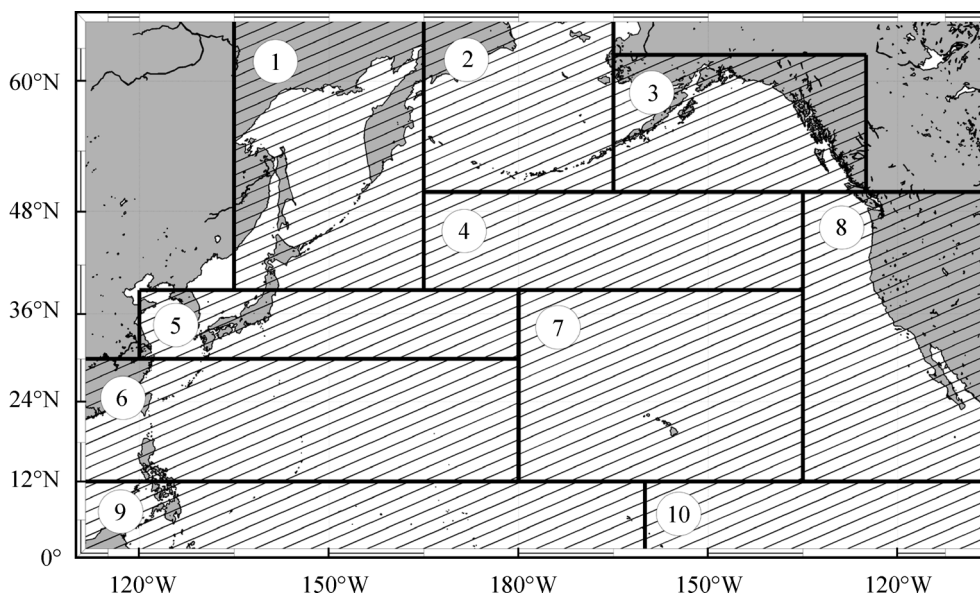


Рис. 1. Условное разделение северной части Тихого океана на 10 районов.

течение Куроисио, 6 — северная тропическая дивергенция, 7 — пассатное течение, 8 — Калифорнийское течение, 9 и 10 — северная тропическая конвергенция.

На рис. 2 представлены временные ряды исходных данных (782 срока) в центральной точке каждого района. На всех графиках отчетливо прослеживается годовая ритмика, а также в той или иной мере проявляется межгодовая изменчивость в виде аддитивной и модуляционной составляющих. Синоптическую изменчивость можно оценить лишь по выбросам относительно годового хода. Основное отличие сопоставляемых районов видно по размаху колебаний уровня в различных диапазонах изменчивости (табл. 1).

**Аддитивная составляющая межгодовой изменчивости (АСМИ)** представлена последовательностью среднегодовых значений уровня (рис. 2). Для сопоставления использованы средние квадратические отклонения (СКО) срочных отметок уровня от их среднегодового значения (для каждого года) [7, 8]. В табл. 2 даны оценки параметров линейного тренда АСМИ и внутригодовых СКО [5].

Из рис. 2 и табл. 2 видно, что в районах 2—4, 8, 10 тренд отрицателен, а в остальных — положителен.

**Годовая ритмика и модуляционная составляющая межгодовой изменчивости.** Как видно из рис. 2 на всех временных рядах среднемесячных значений уровня проявляется регулярная ритмика внутри года, она повторяется из года в год с некото-

Таблица 1

Размах колебаний уровня моря в различных диапазонах изменчивости

	Размах колебаний по районам, см									
	1	2	3	4	5	6	7	8	9	10
Исходные данные	20	30	35	30	160	50	40	60	50	60
Среднегодовые	3	12	20	8	70	15	10	15	20	12
Среднемесячные	16	30	35	25	160	45	40	40	45	35
СКО внутримесячных	5	3	3	3	40	12	10	7	5	20

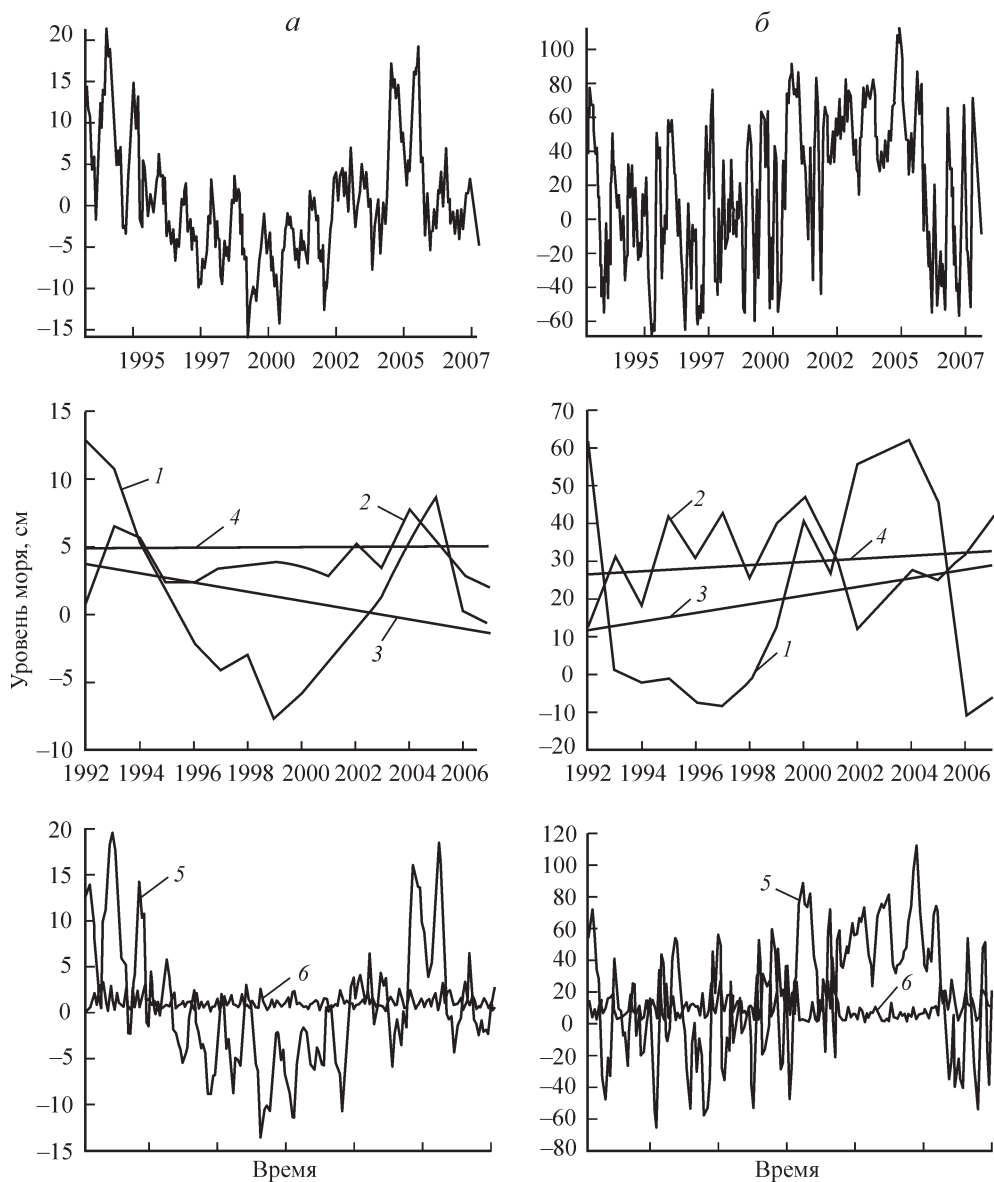


Рис. 2. Последовательность 7-суточных (вверху), среднегодовых (посередине) и среднемесячных (внизу) данных в центральных точках районов.

Районы: *a* — 3-й, *б* — 5-й *в* — 9-й.

1 — средний уровень, 2 — СКО уровня, 3 — линейный тренд  $m(t)$ , 4 — линейный тренд СКО, 5 — средний уровень  $m^*(t)$ , 6 — СКО уровня.

рым стохастическим разнообразием. Это дает основание для анализа этих рядов как реализаций периодически коррелированных случайных процессов (ПКСП), т. е. в ПКСП-приближении. Основными вероятностными характеристиками ПКСП являются математическое ожидание  $m(t)$ , дисперсия  $D(t)$  и ковариационная функция  $K(t, \tau)$  [2, 4].

На рис. 2 также показаны графики СКО внутримесячных флюктуаций уровня, они существенно меньше размаха среднемесячных значений.

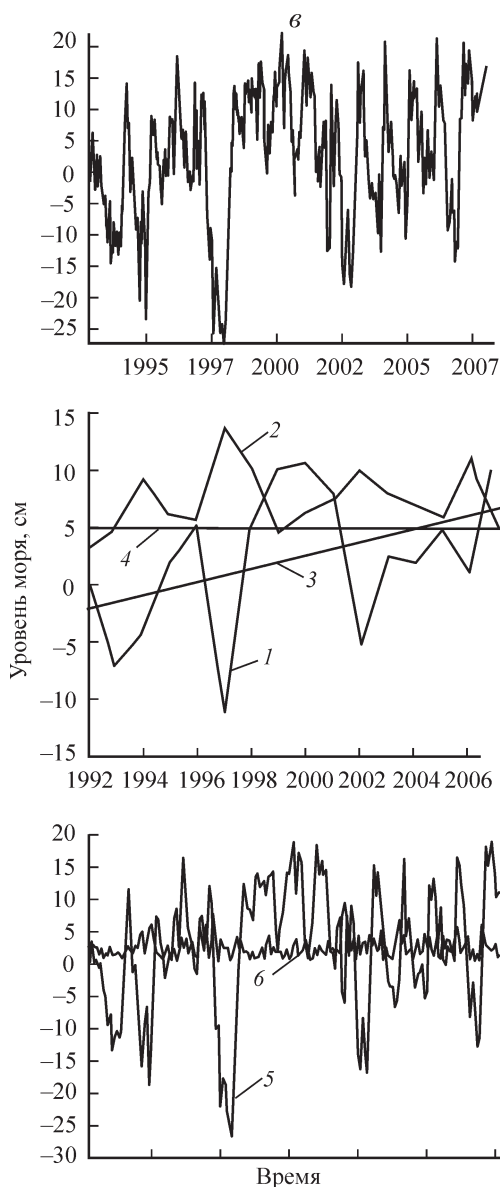


Рис. 2 (продолжение).

В табл. 3 приведены значения оценок  $m^*(t)$ , СКО  $\sigma^*(t) = \sqrt{D^*(t)}$  для всех месяцев и 10 районов. Значения  $m^*(t)$  вычислены по реализациям среднемесячных значений, центрированным на среднее годовое значение каждого года (т. е. исключена аддитивная составляющая межгодовой изменчивости). Они характеризуют средний многолетний годовой ход уровня океана. Значения  $\sigma^*$  вычислены по рядам, центрированным на  $m^*(t)$ ; они характеризуют модуляционную составляющую межгодовой изменчивости (т. е. модуляцию годового хода).

Для районов (1—4, 7, 8) характерен годовой ход  $m^*(t)$  с минимумом в июне—июле, максимумом — в декабре—январе, размахом 8—10 см, СКО межгодовой модуляции слабо зависит от сезона и составляет 2—3 см в районах 1—4 и 8—10 см — в районах 7 и 8.

Районы 5, 6, 9 и 10 отличаются от этой группы. Годовой ход  $m^*(t)$  уровня в районе Куро시오 (район 5) имеет хорошо выраженный минимум в июне на 25 см ниже среднего и плохо выраженный максимум на 10 см выше среднего с декабря по март, СКО — около 30 см.

Годовой ход уровня в районе 6 имеет максимумы в феврале, июне и ноябре, размах не превышает 8 см, СКО — около 10 см.

В экваториальной зоне годовой ход уровня на западе и востоке находится в противофазе: положительные значения с мая по сентябрь (район 9) и отрицательные значения в этот период в районе 10; СКО — около 5—8 см.

На рис. 3 приведены графики функций  $m^*(t)$  и  $\sigma^*(t)$  по трем районам.

Для ПКСП математическое ожидание  $m(t)$ , дисперсия  $D(t)$  и ковариационная функция  $K(t, \tau)$  — периодические функции по аргументу  $t$  и могут быть представлены в виде ряда Фурье

$$f(t) = \sum_k c_k \exp\left(i \frac{2\pi k}{T} t\right), \quad (1)$$

где  $T$  — период коррелированности (год),  $t$  — время (месяц),  $c_k$  — коэффициент,  $\omega_k = 2\pi k/T$  — частота колебаний (обертоны годовой гармоники).

В табл. 4 приведены значения косинусных и синусных компонентов  $c_k$ , а также их модуль при  $k = 0, 1, 2, 3$  для функций  $m^*(t)$  и  $\sigma^*(t)$  из табл. 3. Из табл. 4 видно, что амплитуда годовой гармоники  $m(t)$  равна 3—4 см для районов 1—4, 6, 7; 6—7 см — для

Таблица 2

Оценки параметров линейного тренда АСМИ ( $y = a + bt$ )\*

Район	Тренд среднегодовых значений		Тренд СКО		Район	Тренд среднегодовых значений		Тренд СКО	
	$a$	$b$	$a$	$b$		$a$	$b$	$a$	$b$
1	-0.32	0.01	2.61	0.07	6	0.14	0.12	10.49	0.00
2	0.99	-0.38	4.32	0.01	7	-2.07	0.41	7.46	0.02
3	4.06	-0.35	3.53	0.04	8	0.74	-0.09	8.44	0.29
4	0.54	-0.11	3.98	0.00	9	-2.68	0.58	6.50	0.10
5	10.50	1.14	27.33	0.31	10	1.74	-0.13	9.76	0.07

Примечание. \*  $a$  — в см,  $b$  — см/год.

Таблица 3

Значения оценок  $m^*(t)$ ,  $\sigma^*(t)$  в ПКСП-приближении (см)

Район	Месяцы											
	1		2		3		4		5		6	
	$m^*$	$\sigma^*$	$m^*$	$\sigma^*$	$m^*$	$\sigma^*$	$m^*$	$\sigma^*$	$m^*$	$\sigma^*$	$m^*$	$\sigma^*$
1	3.3	1.7	1.6	1.1	0.4	2.3	-0.5	1.9	-2.3	2.2	-3.3	2.3
2	4.3	3.6	1.8	4.4	-1.7	3.6	-1.5	2.7	-3.2	2.7	-3.7	2.3
3	4.4	2.8	2.0	2.9	-0.9	3.1	-1.9	1.7	-2.5	3.1	-3.4	2.3
4	4.7	1.7	3.2	2.1	1.3	2.1	-2.5	2.4	-3.4	2.9	-2.6	2.4
5	5.2	32.6	7.0	37.8	12.3	26.0	8.4	27.4	-10.7	21.6	-25.1	20.5
6	2.2	9.3	5.9	10.5	1.8	11.1	-2.3	7.8	-4.1	6.9	2.6	6.5
7	3.2	6.3	2.6	4.9	2.1	7.6	-0.7	7.5	-1.0	6.7	-4.5	6.5
8	4.0	12.1	4.2	12.8	2.3	7.3	-1.7	9.9	-3.7	10.6	-8.5	9.7
9	-3.9	7.4	-3.4	9.5	-4.9	8.9	-2.2	6.8	6.1	5.0	8.4	4.7
10	10.0	4.0	7.9	5.1	4.1	3.3	-0.2	4.7	-3.5	5.6	-7.7	5.1

Таблица 3 (продолжение)

Район	Месяцы											
	7		8		9		10		11		12	
	$m^*$	$\sigma^*$	$m^*$	$\sigma^*$	$m^*$	$\sigma^*$	$m^*$	$\sigma^*$	$m^*$	$\sigma^*$	$m^*$	$\sigma^*$
1	-3.7	1.3	-2.8	1.3	-1.1	1.8	1.4	1.2	3.1	1.2	4.0	1.8
2	-3.7	1.7	-1.8	2.2	0.0	1.8	2.0	2.0	3.5	3.6	3.8	3.5
3	-4.4	2.5	-2.8	2.2	-1.6	2.5	1.7	2.4	4.0	2.8	5.7	3.5
4	-3.0	1.4	-3.4	1.8	-1.9	1.3	0.0	1.4	2.7	1.7	4.8	1.9
5	-20.8	22.4	-4.5	29.7	1.6	27.0	2.5	38.7	9.7	29.2	14.6	23.9
6	-4.0	8.7	-3.4	9.5	-2.6	7.9	-0.9	10.4	3.7	11.3	0.9	10.8
7	-5.0	4.6	-3.5	8.9	0.5	7.9	1.4	8.4	2.3	7.9	2.4	6.6
8	-8.0	8.5	-4.3	11.7	1.2	9.7	6.2	9.0	4.0	9.4	4.3	10.8
9	6.4	4.1	4.9	4.8	2.1	4.8	-3.0	6.8	-5.7	6.4	-5.2	5.2
10	-10.7	5.5	-11.9	2.9	-8.5	3.3	3.8	3.0	7.7	5.8	9.1	2.5

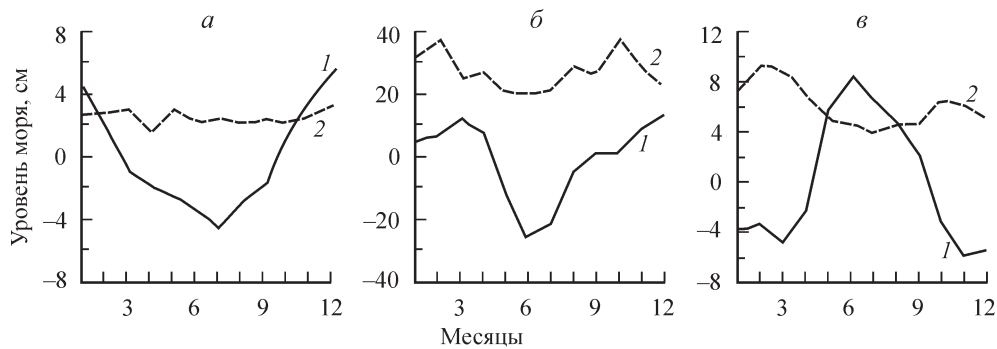


Рис. 3. Последовательность среднемесячных данных  $m^*(t)$  и их СКО  $\sigma^*(t)$  в центральных точках районов 3 (а), 5 (б), 9 (в) в ПКСП = приближении (вертикальный масштаб разный). 1 —  $m$ , 2 — СКО.

районов 8, 9; больше 10 см — в 10-м районе и больше 14 см — в 5-м; амплитуда полугодовой гармоники в большинстве районов в 2—3 раза меньше годовой, амплитуда треть годовой гармоники пренебрежимо мала. Годовая ритмика  $\sigma(t)$  не имеет преобладания амплитуд гармоник  $c_1$  и  $c_2$  над  $c_0$ ; амплитуда  $c_0$  существенно меняется от района к району.

Наиболее просто интерпретировать эти коэффициенты  $c_k$  в (1) в терминах вероятностных характеристик компонентного представления ПКСП

Таблица 4

Коэффициенты  $c_k$  по районам (см)

Район	cos			sin		mod		Район	cos			sin		mod	
	k	m	СКО	m	СКО	m	СКО		k	m	СКО	m	СКО	m	СКО
1	0	0.01	1.68	0	0	0.01	1.68	6	0	-0.02	9.23	0	0	0.02	9.23
	1	3.43	-0.08	-1.12	0.36	3.61	0.37		1	3.15	1.5	0.19	-0.88	3.15	1.74
	2	-0.27	-0.1	-0.49	-0.14	0.56	0.18		2	0.83	-0.03	-0.2	0.51	0.86	0.51
2	0	-0.02	2.84	0	0	0.02	2.84	7	0	-0.02	6.98	0	0	0.02	6.98
	1	3.35	1.03	-2.12	0.33	3.97	1.08		1	3.65	-0.2	-0.66	-0.71	3.71	0.74
	2	0.14	0.16	-0.3	-0.01	0.33	0.16		2	-0.99	-1.1	0.36	0.23	1.06	1.12
3	0	0.02	2.65	0	0	0.02	2.65	8	0	0	10.13	0	0	0	10.13
	1	4.07	0.35	-1.8	-0.03	4.45	0.35		1	5.81	0.62	-2.63	-0.02	6.37	0.62
	2	0.24	0.15	-1.02	-0.14	1.05	0.21		2	-2.09	0.95	1.05	0.14	2.34	0.96
4	0	-0.01	1.92	0	0	0.01	1.92	9	0	-0.03	6.2	0	0	0.03	6.2
	1	4.08	-0.01	-0.9	0.52	4.18	0.52		1	-6.44	1.76	1.27	0.74	6.57	1.91
	2	0.97	-0.1	-0.33	-0.23	1.03	0.25		2	1.88	-0.43	-0.71	0.97	2	1.06
5	0	0.02	28.07	0	0	0.02	28.07	10	0	0.01	4.23	0	0	0.01	4.23
	1	14.32	3.91	-2.77	-2.73	14.58	4.77		1	10.72	-0.29	-0.21	0.65	10.72	0.72
	2	-6.16	-1.18	4.03	3.65	7.36	3.84		2	-0.92	0.1	-2.02	-0.64	2.22	0.64
	3	-0.85	0.6	-5.68	2.67	5.75	2.73	3	-0.52	-0.28	1.17	0.52	1.28	0.59	

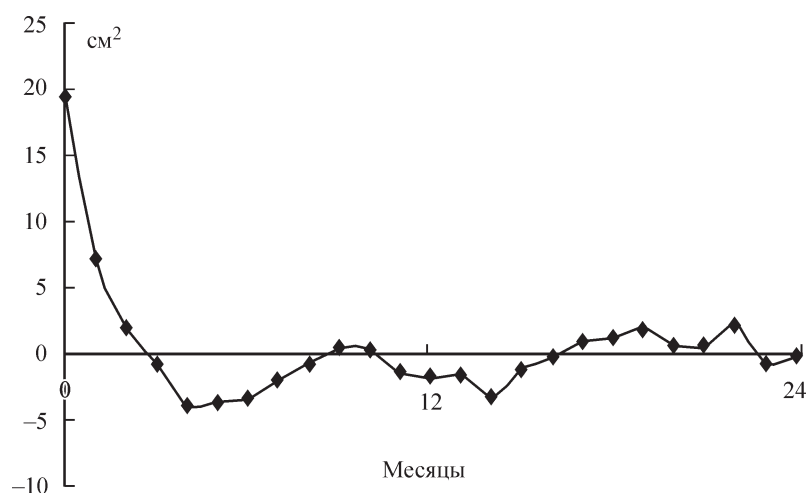


Рис. 4.  $K_0(\tau)$  для района 3.

$$\zeta(t) = \sum_k \zeta_k \exp(i\omega_k t), \quad (2)$$

где  $\zeta_k(t)$  — стационарный случайный процесс с математическим ожиданием  $m_k$ , дисперсией  $D_k$ , ковариационной функцией  $K_k(\tau)$ .

Коэффициенты  $m_k$ ,  $D_k$  позволяют классифицировать колебания уровня по характеру годовой ритмики и ее модуляции. Функция  $K_k(\tau)$  позволяет охарактеризовать связность стохастических отклонений от регулярного годового хода. В качестве примера на рис. 4 приведен график функции  $K_0$  — нулевого корреляционного компонента.

**Пространственная неоднородность и изменчивость колебаний уровня.** Поле  $\zeta(\vec{r})$  называется однородным, если его математическое ожидание  $m(\vec{r})$  и дисперсия  $D(\vec{r})$  не зависят от  $r$ , а ковариационная функция  $K(\vec{r}, \vec{\rho})$  зависит только от вектора сдвига  $\vec{\rho}$ . Напомним, если  $K(\vec{\rho})$  не зависит от направления вектора  $\vec{\rho}$ , а только от его модуля, то поле называют изотропным.

В предшествующем анализе поля  $\zeta(\vec{r})$ , стилизованного до 10 значений аргумента, было показано (табл. 1—3), что средние значения и оценки дисперсии колебаний уровня нельзя считать постоянными в северной части Тихого океана (особенно отличается район Куроисио).

На стадии разведочного анализа пространственной неоднородности поля уровня использованы 4 ситуации (образ поля в конкретную дату каждого сезона), они представлены на рис. 5, где видны «пятнистая структура» возмущений уровня, характерная для вихревых образований как в системе течений (меандры), так и для синоптических вихрей «открытого океана», а также крупномасштабные неоднородности.

Для уточнения их пространственных масштабов воспользуемся сечениями этих выборочных функций по широте ( $5.89^\circ$  с. ш.,  $35.14^\circ$  с. ш.,  $50.00^\circ$  с. ш.) и по меридиану ( $150^\circ$  в. д.,  $180^\circ$  в. д.,  $135^\circ$  з. д.), их положение показано на рис. 5, а, а сами сечения представлены на рис. 6.

Из рис. 6 можно сделать вывод о том, что на фиксированной широте присутствуют нелинейные тренды, указывающие на различие положений уровня в западных и восточных частях океана; на фиксированном меридиане изменение положения уровня в северных и южных районах океана хорошо согласуется с приведенным выше анализом 10 временных рядов. Пространственный масштаб «пятнистой структуры» от 100 до 400 км.

При переходе от стадии разведочного анализа данных (знакомство со спецификой исходных данных и выявление характерных особенностей процессов и полей) к стадии экспресс-анализа данных (примитивными методами в стационарном, однородном,

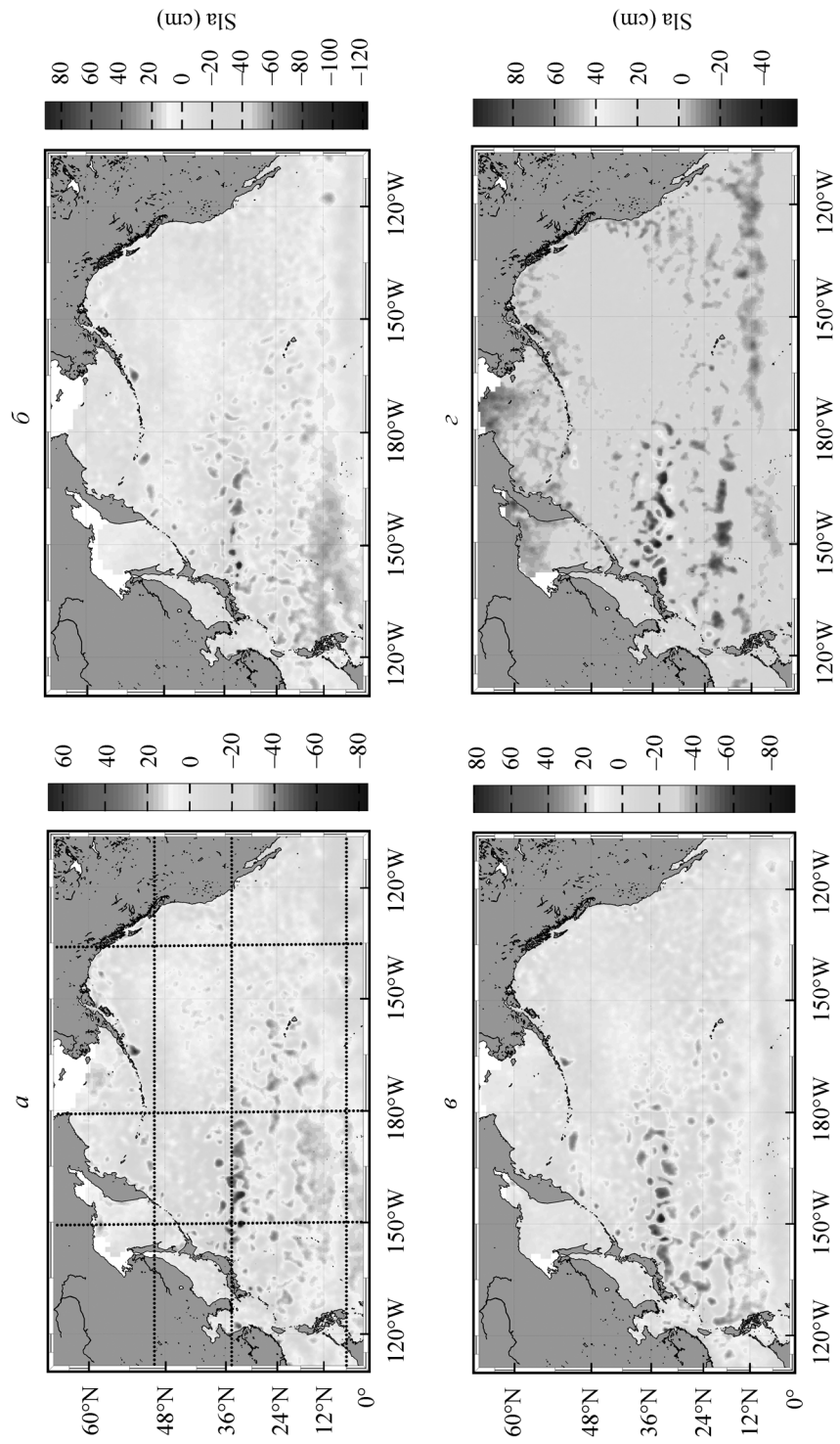


Рис. 5. Поля уровня в различные сезоны года.  
*a* — в середине января 2006 г., *б* — в середине апреля 2006 г., *z* — в середине июля 2006 г., *б* — в середине октября 2006 г.

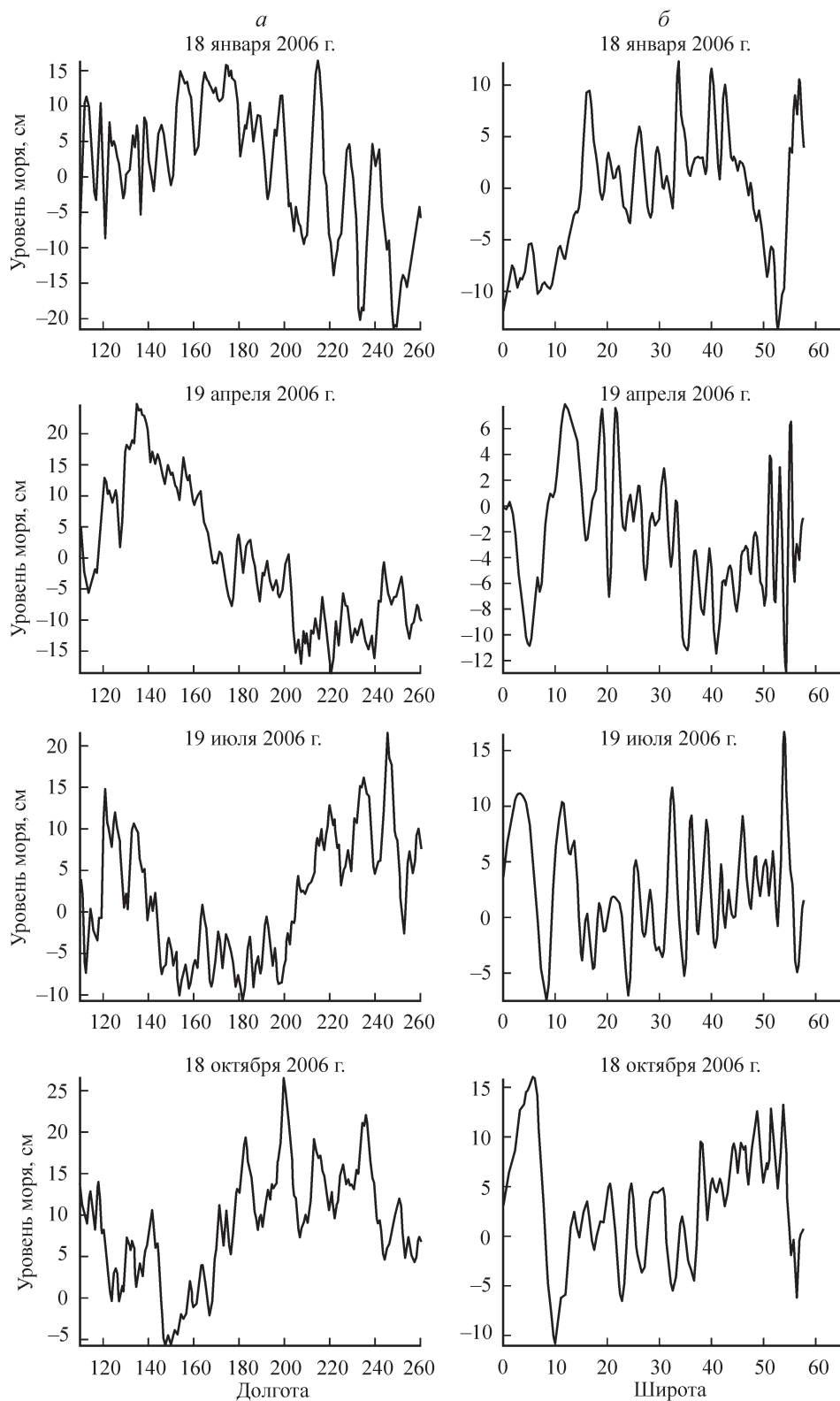


Рис. 6. Сечения поля уровня океана на разрезе по  $5.89^\circ$  с. ш. (а) и по  $135^\circ$  з. д. (б).

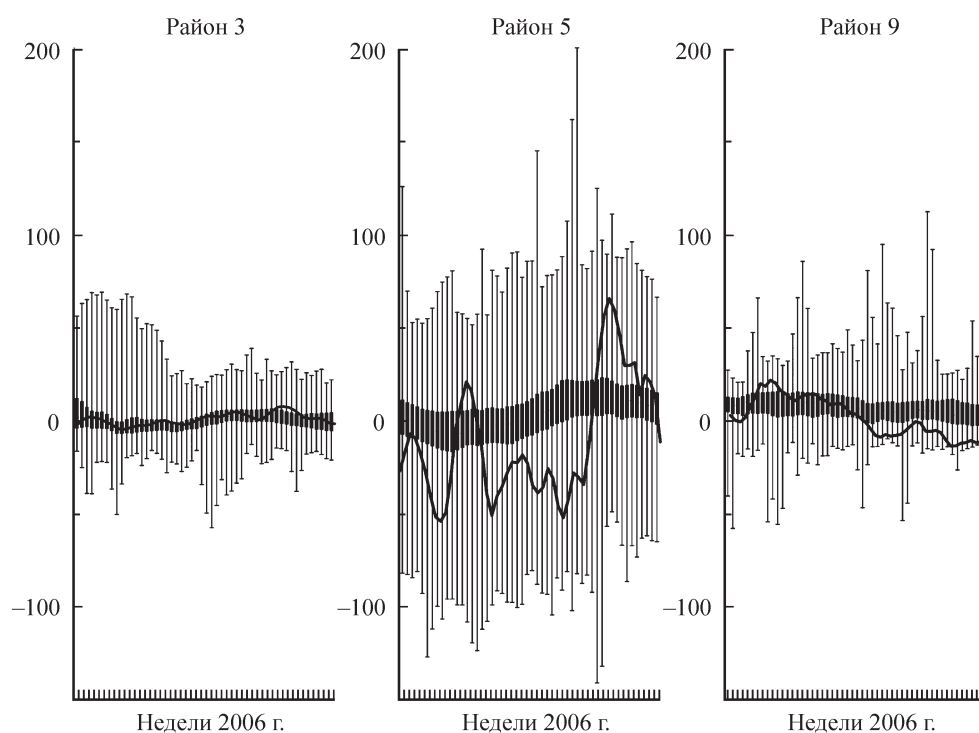


Рис. 7. Квантильные трассы значений уровня в районах 3, 5, 9, совмещенные с временными рядами в центральных точках соответствующих районов за 2006 г.

изотропном, ПКСП приближениях, используя средние значения, оценки дисперсий, ковариационных функции и т. д.) уместно поставить вопрос об однородности поля  $\zeta(\vec{r})$  внутри квазиоднородного района, используя два трафаретных критерия — квантильный и градиентный.

Первый из них базируется на сравнении квантильных трасс временных рядов исходных данных в заданном районе с временным рядом в центральной точке района. В качестве примера на рис. 7 такое сопоставление сделано для районов 3, 5, 9.

Таблица 5

**Модуль и направления среднего вектора градиента уровня, компоненты и инварианты тензора дисперсии**

Район	$M$ , см/км	Направление, град	$D_x$ , см <sup>2</sup> /км	$D_y$ , см <sup>2</sup> /км	$K_{xy}$ , см <sup>2</sup> /км	$I_1$ , см <sup>2</sup> /км	$\alpha$ , °
1	0.005	6	0.0012	0.0008	-0.00004	0.0020	353
2	0.015	177	0.0035	0.0044	0.00034	0.0080	342
3	0.014	115	0.0051	0.0039	0.00011	0.0090	5
4	0.009	60	0.0013	0.0010	0.00012	0.0023	23
5	0.080	118	0.1000	0.2027	-0.02218	0.3027	12
6	0.019	201	0.0090	0.0106	0.00061	0.0196	341
7	0.010	19	0.0077	0.0064	0.00025	0.0141	10
8	0.015	75	0.0152	0.0178	-0.00054	0.0329	11
9	0.004	299	0.0007	0.0012	0.00011	0.0019	347
10	0.001	49	0.0011	0.0013	-0.00012	0.0024	29

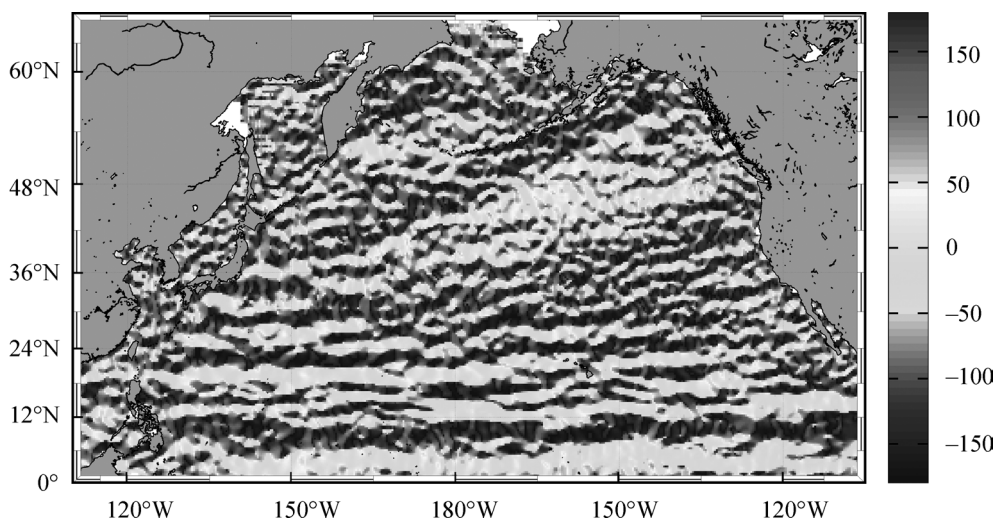


Рис. 8. Поле направлений среднего градиента уровня (град).

На рис. 7 видно, что размах квантильных трасс существенно превышает размах отдельной реализации, т. е. пространственная изменчивость существенна. Вторым критерий требует знания среднего значения вектора градиента уровня  $\bar{\nabla}\zeta(\vec{r})$  и оценки компонент и инвариантов тензора дисперсии  $D_{\bar{\nabla}\zeta}(\vec{r}) = \begin{pmatrix} D_x & K_{xy} \\ K_{yx} & D_y \end{pmatrix}$ .

Они приведены в табл. 5. Из нее можно сделать вывод, что как модуль, так и направление среднего вектора градиента  $\bar{m}_{\bar{\nabla}\zeta}(\vec{r})$  существенно меняются от района к району. Если модуль этого вектора достаточно мал, но его направление, представленное на рис. 8, является хорошим показателем неоднородности поля уровня всей рассматриваемой части океана. Линейный инвариант  $I_1$  тензора  $D_{\bar{\nabla}\zeta}(\vec{r})$  характеризует СКО значений  $\bar{\nabla}\zeta$ , величина  $\alpha$  показывает направление большой оси эллипса дисперсии. Оно представлено на рис. 9 и также является показателем неоднородности поля.

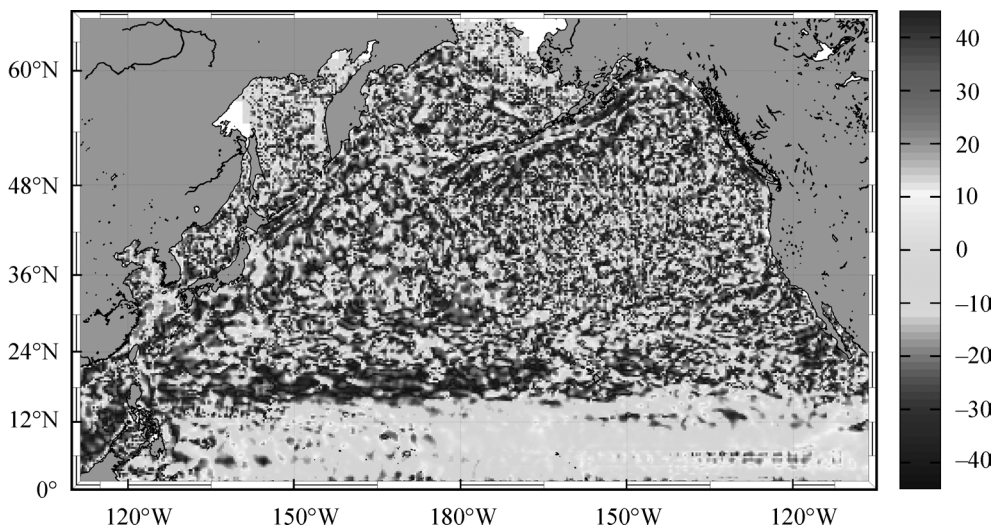


Рис. 9. Поле направлений большой оси тензора дисперсии градиента уровня (град).

## Выводы

На основе статистического экспресс-анализа альтиметрических данных (с дискретностью 7 сут) проанализирован ансамбль колебаний уровня  $\zeta(\vec{r}, t)$  северной части Тихого океана (с пространственной дискретностью треть градуса по широте и долготе) за промежуток времени от 1992 по 2010 г. показано:

1) по 10 временным рядам в характерных районах, что последовательность средне-годовых значений имеет знакопеременный (в зависимости от района) тренд (табл. 2), последовательность среднемесячных значений характеризует специфику годового хода (среднее многолетнее значение) уровня в различных районах океана и позволяет оценить модуляционную составляющую межгодовой изменчивости (табл. 3), отличия в средних значениях и оценках СКО между районами свидетельствуют о пространственной неоднородности колебаний уровня.

2) Благодаря наличию в каждом из районов 15 тыс. отметок уровня в еженедельной пространственной реализации временная последовательность квантильных трасс значений уровня (рис. 7), оценки среднего значения вектора градиента  $\nabla\zeta(\vec{r}, t)$  и тензора СКО (табл. 5) свидетельствуют о существенной пространственно-временной изменчивости уровневой поверхности; ансамбль сечений поля  $\zeta(\vec{r}, t)$  позволил оценить пространственные тренды как индикатор неоднородности поля и масштаб синоптической пространственной изменчивости уровня, обусловленной наличием вихрей открытого моря и меандр систем течений (рис. 6).

3) Необходимость дальнейшего анализа этого богатейшего по продолжительности и пространственной подробности массива данных более утонченными по сравнению с примитивными (экспресс) методами: естественными ортогональными функциями для уточнения характера пространственной неоднородности поля, ковариационного анализа районов поля  $\zeta(\vec{r}, t)$  в квазиоднородном приближении, а также совместного анализа поля  $\zeta(\vec{r}, t)$  с другими полями (температуры воды, атмосферного давления, скорости ветра).

Работа выполнена при поддержке ФЦП «Научные и научно-педагогические кадры инновационной России» на 2009—2013 гг.

## Список литературы

- [1] Белоненко Т. В., Колдунов В. В., Старицын Д. К., Фукс В. Р., Шилов И. О. Изменчивость уровня северо-западной части Тихого океана. СПб., 2009. 309 с.
- [2] Боков В. Н., Клеванцов Ю. П., Рожков В. А., Смирнова А. И., Фукс В. Р. Годовая ритмика колебаний уровня Балтийского моря // Труды ГОИН. 2000. Вып. 207. С. 103—112.
- [3] Гусев А. К., Кох А. О., Рожков В. А. Колебания уровня Балтийского моря // Труды ГОИН. 2007. Вып. 210. С. 108—125.
- [4] Драган Я. П., Рожков В. А., Яворский И. Н. Методы вероятностного анализа ритмики океанологических процессов. Л.: Гимиз., 1987. 319 с.
- [5] Дрейпер Н., Смит Г. Прикладной регрессионный анализ. Т. 1. М.: Финансы и статистика, Т. 1. 1986; т. 2. 1987.
- [6] Колебания уровня в морях. Сб. статей. СПб.: РГГМУ, 2003. 143 с.
- [7] Рожков В. А. Теория вероятностей случайных событий, величин и функций с гидрометеорологическими примерами. СПб.: Прогресс-погода, 1996. 560 с.
- [8] Рожков В. А. Теория и методы статистического оценивания вероятностных характеристик случайных величин и функций с гидрометеорологическими примерами. СПб. Кн. 1. 2001. 340 с.; кн. 2. 2002. С. 343—780.

Санкт-Петербург

Поступило в редакцию  
26 апреля 2011 г.